



١٩٩٤.



دانشگاه شهید بهشتی

دانشکده علوم

گروه فیزیک

پایان نامه کارشناسی ارشد با عنوان

بررسی اثر اسپین-گان در نیمه رساناهای فرومغناطیس

استاد راهنما

دکتر فرشاد ابراهیمی

دانشجو

اللهه مستعاني

استاد مشاور

دکتر ماهیار نوشیر وانی

شهریور ۸۹

تقدیم به پدر و مادر عزیزم به پاس زحمات و محبت‌های بی‌دربیغشان؛

تقدیم به خواهران و برادرم که یار و همراهم هستند؛

۹

تقدیم به همه کسانی که در راه ارتقای علم، صادقانه گام برمی‌دارند.

قدردانی

خداآوند را سپاس که نعمت فraigیری قسمتی هرچند بسیار کوچک از علم بیکران خویش را بر بندۀ خود ارزانی داشته و بندۀ را در این مسیر هدایت نموده است. بدین‌وسیله مراتب سپاس و قدردانی خود را نسبت به استاد ارجمند، جناب آقای دکتر فرشاد ابراهیمی که راهنمایی اینجانب را در طی دوره کارشناسی ارشد به‌عهده داشته‌اند، ابراز می‌دارم. بی‌شک توجهات و راهنمایی‌های ارزنده ایشان عامل بسیار مهمی در به ثمر نشستن این پایان‌نامه بوده است. در ضمن، از استاد گرامی، جناب آقای دکتر ماهیار نوشیروانی به‌خاطر قبول زحمت مشاوره این پایان‌نامه تشکر می‌کنم. همچنین از پدر و مادر عزیزم که بزرگترین درس‌های زندگی را در محضر ایشان آموخته‌ام و از اعضای خانواده‌ام که همواره همراه من هستند، کمال تشکر و امتنان را دارم. در پایان نیز از تمام دانشجویان دوره دکترای فیزیک دانشگاه شهید بهشتی که سعادت یادگیری در کنار آنان نصیب اینجانب شد و همچنین از کلیه اساتید و معلمان بزرگواری که افتخار شاگردی در محضر ایشان را داشته‌ام، سپاسگزاری می‌کنم.

چکیده

در این پایان‌نامه برای مطالعه اثر اسپین-گان در نیمه‌رساناهای فرومغناطیس با گاف انرژی مستقیم، معادله بولتزمن با در نظر گرفتن اثر اسپین به‌طور نیمه‌کلاسیکی حل شده و توابع توزیع غیرتعادلی، چگالی الکترون‌های غیرتعادلی و معادلات ترابرد در این نوع نیمه‌رساناهای دو اسپین بالا و پایین به‌دست آمده است. برای انجام محاسبات عددی، نسبت چگالی الکترون‌های تعادلی با اسپین‌های بالا و پایین در کمینه مرکزی مورد نیاز بود که مقدار آن با محاسبه چگالی حالت الکترون‌های نوار رسانش به‌دست آمد. چگالی حالت الکترون رسانش در نیمه‌رساناهای فرومغناطیس نیز با استفاده از تقریب پتانسیل هندوس، برای مقادیر مختلف قدرت برهمنکش و دما محاسبه گردید. به این ترتیب با استفاده از چگالی حالت‌های به‌دست آمده، چگالی الکترون‌های نوار رسانش با اسپین بالا و پایین به‌دست آمد. در نهایت با استفاده از این کمیت، اثر اسپین-گان در نیمه‌رساناهای فرومغناطیس مانند $GaMnAs$ مشاهده و نتایج حاصل از آن ارایه گردید.

واژه‌های کلیدی: نیمه‌رساناهای فرومغناطیس، برهمنکش f - s ، برهمنکش هایزنبرگ، چگالی حالات، معادله بولتزمن، توابع توزیع، تقریب زمان واهلش، اثر اسپین-گان، ترابرد، امواج میکرومتر.

فهرست مطالب

۱.....	۱
۵	۲ نیمه‌رساناهای
۵.....	۲-۱- پیشگفتار
۶.....	۲-۲- ساختار بلوری
۸.....	۲-۳- نوارهای انرژی
۹.....	۲-۴- تراپرد الکتریکی
۹.....	۲-۴-۱- تراپرد حامل‌ها در میدان الکتریکی کوچک
۱۰.....	۲-۴-۲- تراپرد حامل‌ها در میدان الکتریکی بزرگ
۱۳.....	۳-۴-۲- رویکرد نیمه‌کلاسیکی
۱۵.....	۴-۵- اثر مقاومت دیفرانسیلی منفی
۱۹.....	۴-۶- اثر انتقال الکترون
۲۲.....	۴-۷- اثر گان
۲۳	۳ نیمه‌رساناهای فرومغناطیسی
۲۳.....	۳-۱- برهمنش‌های اساسی در نیمه‌رساناهای فرومغناطیسی
۲۴.....	۳-۱-۱- برهمنش یون‌های جایگزینده
۲۴.....	۳-۱-۲- برهمنش $s-f$
۲۵.....	۳-۱-۳- برهمنش تبادلی غیرمستقیم
۲۶.....	۳-۲- نیمه‌رساناهای مغناطیسی رفیق (DMS)
۲۹.....	۳-۳- ساختار نواری در DMS
۳۱.....	۳-۴- پدیده فرومغناطیسی در DMS
۳۲.....	۳-۵- مدل‌های نظری در DMS
۳۴.....	۳-۱-۵- تقریب اصول اولیه
۳۳.....	۳-۲-۵- تقریب میکروسکوپی بستگی قوی (TB)

۳۴.....	۳-۵-۳- نظریه هامیلتونین مؤثر
۳۵.....	۴-۵-۳- مدل‌های شبکه‌ای نوار ناچالص و مدل‌های پلارونی
۳۵.....	۳-۶- تقریب پتانسیل همدوس (CPA)
۴۰.....	۳-۷- نظریه CPA برای نیمه‌رساناهای فرومغناطیس
۴۴.....	۳-۷-۱- نظریه میدان میانگین
۴۶.....	۴ اثر اسپین- گان
۴۶.....	۴-۱- پیشگفتار
۴۷.....	۴-۲- معادله بولتزمن در نیمه‌رساناهای فرومغناطیس
۴۷.....	۴-۱-۲-۴- محاسبه چگالی الکترون‌ها در نوار رسانش نیمه‌رساناهای فرومغناطیس
۵۲.....	۴-۲-۲-۴- محاسبه سرعت سوق در نیمه‌رساناهای فرومغناطیس
۵۴.....	۴-۳-۲-۴- محاسبه رسانندگی در نیمه‌رساناهای فرومغناطیس
۵۵.....	۵ نتایج و توضیحات
۵۵.....	۵-۱- چگالی حالت الکترون‌های اسپین بالا و پایین
۵۷.....	۵-۲- بررسی اثر اسپین- گان
۶۶.....	نتیجه‌گیری
۶۸.....	پیوست A متغیرهای مربوط به چگالی و سرعت الکترون‌ها
۶۹.....	کتابنامه

مقدمه

زمینه مغناطیسی که شاید قدیمی‌ترین شاخه علم فیزیک باشد، امروزه دومین صنعت بزرگ جهان را تندیه می‌کند. ادعا می‌شود که بکارگیری مواد مغناطیسی در صنعت نیمه‌رسانا بازار آتی را به خود اختصاص می‌دهد. مطابق پیش‌بینی صورت گرفته، میزان تقاضای مواد مغناطیسی به سرعت افزایش می‌یابد و مغناطیسی نقش اصلی را در علم و فناوری ایفا می‌نماید [۱]. اخیراً به دنبال این جریان، برخی پدیده‌های مغناطیسی و مواد جدیدی کشف شده‌اند که نقش حیاتی در گشودن قفل فناوری‌های جدید ایفا نموده و یا اثرات جدیدی را بدنبال می‌آورند. از آنجایی که حضور مواد مغناطیسی در موادی همچون نیمه‌رساناها سبب تغییر برخی ویژگی‌های آنها می‌گردد، بنابراین لازم است که این ویژگی‌ها در حضور مواد مغناطیسی بررسی گردند. به دلیل اهمیت این موضوع، در این پایان‌نامه یکی از اثرات مهم در برخی نیمه‌رساناها به نام اثر گان، در مواد نیمه‌رسانای مغناطیسی مورد بررسی و مطالعه قرار می‌گیرد. پیش از پرداختن به این موضوع، لازم است که در ابتدا اثر گان، نحوه پیدایش آن و ویژگی نیمه‌رساناها دارای این اثر بررسی شود و سپس به ویژگی‌های نیمه‌رساناها فرومغناطیس اشاره گردد و در انتها نیز اثر گان در نیمه‌رساناها فرومغناطیس مورد بررسی و تحلیل قرار گیرد.

برخی نیمه‌رساناها ترکیبی دارای گاف انرژی مستقیم مانند *GaAs* با اعمال میدان الکتریکی و تحت شرایطی، امواج میکرومتر تولید می‌کنند که به اثر گان معروف است. با اعمال میدان خارجی به این نوع نیمه‌رساناها و افزایش شدت آن، الکترون‌های نوار رسانش گرم^۱ شده و میانگین انرژی آنها بیش از حالت تعادل دمایی می‌گردد. برای بررسی نظری اثرات الکtron گرم، باید مسئله تابع توزیع الکترون حل شود که در حضور میدان بالا از حالت تعادل دمایی ماکسول-بولتزمن یا فرمی-دیراک منحرف می‌شود. اثرات الکترون گرم با حل معادله بولتزمن به طور تحلیلی قابل بررسی است [۲].

در واقع، معادلات نیمه‌کلاسیکی بولتزمن اثر پراکندگی ناشی از افزایش انرژی الکترون‌ها در حضور میدان الکتریکی را به حساب می‌آورد. از آنجایی که میزان پراکندگی به انرژی الکترون‌ها وابسته است، بنابراین موقعیت دینامیکی آنها اساساً غیرخطی و ناپایدار است. این معادلات بر اساس بقای تکانه و انرژی الکترون نوشته می‌شوند. در نیمه‌رساناها مذکور اساساً، ترکیب اثرات پراکندگی و ترا برد بین نواری در میدان‌های بالا، سبب ایجاد مقاومت دیفرانسیلی منفی (NDR)^۲ می‌گردد که اساس اثر گان به شمار می‌رود. در واقع، با اعمال میدان الکتریکی بیش از میدان آستانه به موادی همچون *GaAs*

¹ Hot

² Negative differential resistance

الکترون‌های نوار رسانش به یک یا بیش از یک کمینه انتقال می‌یابند. در نتیجه، تحرک‌پذیری الکترون‌ها کاهش یافته و NDR تولید می‌گردد.

کارهای نظری در زمینه اثر گان در نیمه‌رسانها به دو دسته مجزای استاتیکی و دینامیکی تقسیم می‌شود. نظریه‌های استاتیکی مربوط به آنالیز فرایندهای برخورد، محاسبه احتمالات پراکندگی، تعیین توابع توزیع و تعیین مشخصه سرعت سوق بر حسب میدان الکتریکی است. در این نظریه، اغلب از توابع توزیع ماسکول جابجا شده^۳ استفاده می‌شود. ویژگی عمومی نظریه‌های استاتیکی این است که میدان‌های الکتریکی به صورت استاتیک و یکنواخت به مواد همسانگرد اعمال می‌گردد. نظریه‌های دینامیکی مربوط به بررسی ویژگی‌های ترابردی در شرایط دینامیکی است. در این شرایط، میدان الکتریکی با توجه به زمان و فضا تغییر و مسئله پیچیده‌ای را ایجاد می‌کند. در شرایط دینامیکی، بررسی ترابرد براساس معادله بولتزمن و با استفاده از انتگرال‌های برخورد به راحتی امکان‌پذیر نیست. بنابراین، اغلب به وسیله معادلات بقای ماکروسکوپی و به صورت مدل‌سازی توصیف می‌گردد. برای این منظور، یکسری از پارامترهای تجربی مانند تحرک‌پذیری، ثابت پخش و زمان‌های واهلش مختلف مورد نیاز است که با استفاده از نظریه‌های استاتیک یا آزمایش‌های تجربی بدست می‌آیند^[۳]. در این پایان‌نامه، برای بررسی اثر ترابرد در نیمه‌رساناهای فرومغناطیسی، معادلات بولتزمن به صورت دینامیکی حل خواهند شد.

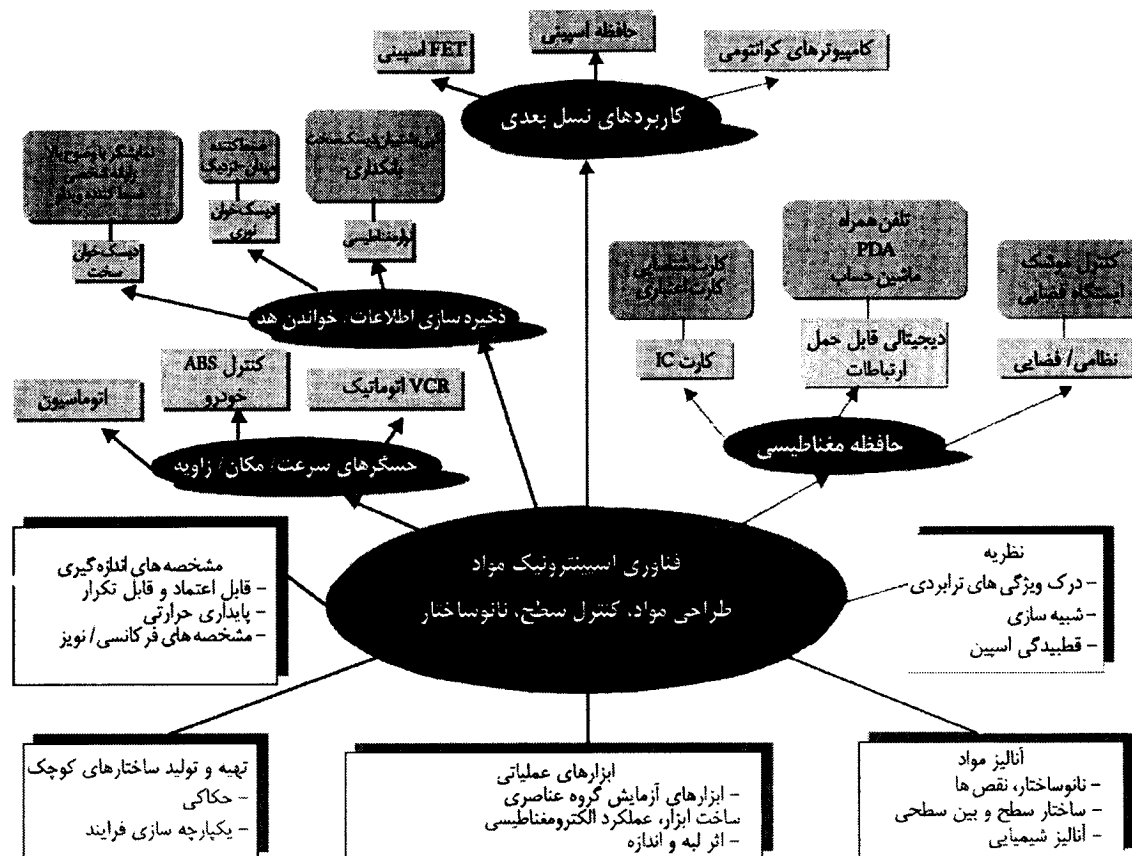
یکی از راه‌های ساخت نیمه‌رساناهای فرومغناطیسی، افزودن یون‌های مغناطیسی مانند Mn، Cr، Fe و Co به نیمه‌رسانای غیرمغناطیسی است. فقط مقدار کمی از یون‌های مغناطیسی با موفقیت در نیمه‌رسانها آایده می‌شود. از این‌رو به این نوع نیمه‌رسانها، نیمه‌رساناهای مغناطیسی رقیق (DMS)^۴ گویند. میل ترکیبی شیمیایی یون‌های مغناطیسی، حامل‌های بار را در نیمه‌رسانا القا می‌کند که جفت‌شدن مؤثر فرومغناطیسی بین این یون‌ها، نظم فرومغناطیسی را در دمای کمتر از دمای کوری ایجاد می‌کند. این مواد، آرایه بزرگی از پدیده‌های جمعی را از خود نشان می‌دهند که سبب جلب توجه بسیاری از محققان گردیده است. بخشی از این توجهات در نیمه‌رساناهای مغناطیسی رقیق مربوط به امکان یکپارچه‌سازی مواد مغناطیسی و نیمه‌رسانها به‌منظور ساخت ابزارهای جدیدی است که قابلیت‌های پردازش و ذخیره‌سازی را در یک محیط کاملاً نیمه‌رسانا در هم می‌آمیزد^[۱] و سبب پرکاربرد شدن آنها می‌گردد.

در سه دهه گذشته، در حوزه الکترونیک حالت جامد شامل مجتمع‌سازی اجزای مداری در یک تراشه نیمه‌رسانا مانند ابزارهای مدارهای مجتمع، پیشرفت‌های چشمگیری رخ داده‌است. نیمه‌رسانها و مواد مغناطیسی دو جزء بسیار اساسی صنایع الکترونیک هستند. ابزارهای نیمه‌رسانا برای انتقال اطلاعات استفاده می‌شوند که توسط اعمال میدان خارجی قابل کنترل هستند و ابزارهای مغناطیسی به‌منظور ذخیره‌سازی اطلاعات به کار می‌روند. تحقق ساخت ابزاری که ترکیبی از ویژگی‌های مواد نیمه‌رسانا و مغناطیسی را با هم داشته باشد، رویایی در فیزیک مواد بوده است. ایده بکارگیری اسپین‌ها در ابزارهای الکترونی جدید اساس توسعه سریع زمینه اسپینترونیک است که نمای کلی کاربردهای آن در زمینه‌های مختلف در شکل (۱-۱) ارایه گردیده است. یکی از ویژگی‌های قابل توجه این مواد این است که می‌توان درجه آزادی اسپین آنها را به‌وسیله اعمال میدان الکتریکی خارجی کنترل نمود.

³ Displaced Maxwellian distribution

⁴ Diluted magnetic semiconductors

یکی از موضوعات روز، کنترل اسپین الکترون‌ها، حفره‌ها، هسته‌ها یا یون‌ها است تا به این وسیله کاربردهای جدیدی در الکترونیک دیجیتالی و آنالوگی^۵ حاصل گردد. بار، جرم و اسپین الکترون‌ها اساس فناوری اطلاعات کنونی را تشکیل می‌دهد. در مدارهای مجتمع و ابزارهای فرکانس بالا که از نیمه‌رساناهای ساخته و برای پردازش اطلاعات به کار گرفته می‌شوند، فقط از بار الکترون‌ها در زمان ذخیره‌سازی اطلاعات استفاده می‌شود. ذخیره‌سازی اطلاعات نیز به وسیله ثبت مغناطیسی با استفاده از اسپین الکترون‌ها در یک فلز فرومغناطیس انجام می‌شود[۴ و ۵].



شکل ۱-۱- درخت فناوری برای ابزارهای مبتنی بر اسپین و کاربردهای بالقوه آنها[۵]

برای ساخت ابزارهای با ویژگی ثبت مغناطیسی، باید اسپین‌ها را به نیمه‌رسانا تزریق نمود. منبعی از اسپین‌های قطبیده که برای این منظور به کار گرفته می‌شوند، باید ساختاری سازگار با یکی از نیمه‌رساناهای موجود در ابزار داشته باشد. بنابراین فلزاتی که در دمای اتاق فرومغناطیس هستند باید این عمل را انجام دهند[۶].

در هر صورت، تحول فناورانه مذکور رخ نخواهد داد مگر اینکه سه هدف مهم در توسعه مواد فرومغناطیسی به دست آید که عبارتند از: حامل‌های بار در محیط فرومغناطیس دمایی برابر دمای اتاق داشته باشند؛ ویژگی‌های تراپریدی و اپتیکی به

حال مغناطیسی وابسته باشند و ویژگی‌های مواد در مقابل میزان آلایندگی، میدان‌های خارجی و نور حساس باقی بمانند[۱]. اولین نتیجه مثبت در این زمینه، توسط اهنو^۶ و همکارانش[۷] در سال ۱۹۹۲ به دست آمد. آنها InMnAs

⁵ Analog

⁶ Ohno

فرومغناطیس را در دمای بحرانی K با $1/3$ درصد ناخالصی Mn گزارش کردند. تاکنون نیز بیشترین دمای بحرانی (T_c) در حدود $K = 170$ به دست آمده است^[8]. علی‌رغم اینکه این دما کمتر از دمای اتاق است، اما بالاتر از دمای نیتروژن مایع است، بنابراین کاربردهای فراوانی دارد.

دو رویکرد برای درک ویژگی‌های مغناطیسی نیمه‌رساناهای رقیق بیان شده است. اولین رویکرد بر مبنای نظریه میدان میانگین است که در اصل از مدل زنر^۷ ناشی می‌شود. بر طبق این نظریه، فرض می‌شود که DMS یک آلیاژ بی‌نظم مانند $(Ga, Mn)N$ است که در آن Mn جایگزین یکی از اجزای شبکه می‌شود. این نظریه، دمای بحرانی موادی مانند $(In, Mn)As$ و $(Ga, Mn)As$ را به خوبی پیش‌بینی می‌کند، اما بر سر اینکه حامل‌های آزاد چه طور با هم برهم‌کنش می‌کنند، اختلاف‌هایی وجود دارد. مطابق دومین رویکرد، اتم‌های مغناطیسی خوش‌هایی کوچک از تعداد کمی اتم تشکیل می‌دهند که پدیده فرومغناطیس را ایجاد می‌کند. محاسبات انجام شده در این پایان‌نامه بر مبنای رویکرد اول است.

ترتیب کلی پایان‌نامه به صورت زیر است: در فصل ۲، برخی ویژگی‌های مواد نیمه‌رسانا مانند ساختار بلوری، نوارهای انرژی و تراپریکی بیان می‌شود. سپس به رویکرد نیمه‌کلاسیکی معادله بولتزمن که برای بررسی اثر مقاومت دیفرانسیلی منفی مورد نیاز است، اشاره می‌گردد. در انتهای نیز اثر گان معرفی می‌شود. در فصل ۳، نیز نیمه‌رساناهای فرومغناطیس و رقیق تعریف شده و به برخی ویژگی‌های آنها مانند ساختار نوار انرژی و پدیده فرومغناطیس اشاره می‌گردد. سپس یکسری مدل‌های نظری که برای بررسی رفتار جمعی الکترون‌های برهم‌کنشی موجود است مانند مدل اصول اولیه، میکروسکوپی بستگی قوی (TB)، هامیلتونی مؤثر و شبکه‌ای، تشریح می‌شود و در نهایت با استفاده از روش میدان میانگین که جزء مدل اصول اولیه بهشمار می‌رود و تقریب پتانسیل همدوس (CPA)^۸، برخی پارامترهای فیزیکی مانند چگالی حالات الکترون‌های نوار رسانش در نیمه‌رساناهای فرومغناطیس به دست می‌آید. در فصل ۴، با استفاده از اطلاعات به دست آمده در فصل ۳ و با در نظر گرفتن اثر اسپین، چگالی تعادلی اولیه الکترون‌ها برای دو کمینه نوار رسانش محاسبه می‌گردد. در مرحله بعدی، با در نظر گرفتن میدان الکتریکی اعمالی و ایجاد شرایط غیرتعادلی، معادله بولتزمن با در نظر گرفتن اثر اسپین برای هر یک از کمینه‌ها به صورت دینامیک حل و معادلات سرعت و رسانش به دست می‌آیند. در فصل ۵ نیز نتایج به دست آمده تحلیل می‌گردد. دو پیوست A و B نیز به معرفی پارامترهای مورد استفاده در فصل ۴ اختصاص دارند.

⁷ Zener

⁸ Coherent potential approximation

نیمه‌رساناهای

۱-۲- پیش‌گفتار

نیمه‌رساناهای دسته‌های از مواد هستند که میزان رسانایی آنها در دمای اتاق بیشتر از عایق‌ها و کمتر از فلزات است. به عبارتی دیگر، یک نیمه‌رسانا جامدی با پهنه‌ای نواری بزرگ و گاف انرژی کوچک است^[۹] (تا حدود ۳ یا ۴ الکترون‌ولت) است^[۱۰]. فلزات، گاف انرژی ندارند، در صورتی که عایق‌ها دارای گاف انرژی بیش از چند الکترون‌ولت هستند. برخی از نیمه‌رساناهای مهم عبارتند از Ge، Si و GaAs. ژرمانیوم و سیلیسیوم به‌طور وسیعی مورد مطالعه قرار گرفته‌اند. گالیوم آرسناید نیز در سال‌های اخیر به‌شدت مورد توجه قرار گرفته است. زیرا، ویژگی‌های متفاوتی نسبت به نیمه‌رساناهای گروه III و V دارد. امروزه، نیمه‌رساناهای ترکیبی گروه III-V علاوه بر اینکه جزء دسته‌بندی بسیار پیشرفته‌ای از ابزارهای الکترونیکی و اپتوالکترونیکی به‌شمار می‌روند، اساس ساخت مواد مورد استفاده در فناوری‌های تجاری موفق نیز هستند. به طور مثال، ترانزیستورهای دوقطبی نامتجانس و ترانزیستورهای با تحرک‌پذیری بالای الکترونی، دیودهای لیزری، دیودهای نورگسیل، آشکارسازهای نوری و مدولاتورهای الکترواپتیکی از جمله این نوع ابزارها هستند^[۱۱]. برخی ویژگی‌های مهم این نوع نیمه‌رساناهای عبارت است از گاف انرژی مستقیم که تراکم بین نواری حامل‌ها و کاربردهای فوتونی را امکان‌پذیر می‌سازد و تحرک‌پذیری^۹ بالا که برای تولید میکروموج‌ها به کار می‌رود^[۱۲]. مهم‌ترین ابزارهای میکروموج شامل ابزارهای انتقال الکترون (TED)^[۱۰]، دیودهای تونلی و دیودهای IMPATT^[۱۱] هستند که ابزارهای انتقال الکترون در این پایان‌نامه، مد نظر قرار می‌گیرند.

TED، به عنوان یکی از مهم‌ترین ابزارهای تولید میکروموج که به‌طور وسیعی در نوسانگرهای موضعی^[۱۲] و تقویت‌کننده‌های برق^[۱۳] استفاده می‌شود، فرکانس میکروموج در محدوده ۱ تا ۱۰۰ GHz را تولید می‌کند. این ابزارها به عنوان منابع میکروموج در رادارها، دزدگیرها و ابزارهای سنجش میکروموج نیز مورد استفاده قرار می‌گیرند. در سال ۱۹۶۳، گان^[۱۴] دریافت که اگر به نمونه کوچکی از نیمه‌رساناهای نوع n گالیوم آرسناید یا ایندیوم فسفاید، میدان

^۹ Mobility

^{۱۰} Transferred-electron device

^{۱۱} Impact-Ionization avalanche transit time

^{۱۲} Local oscillators

^{۱۳} Power amplifiers

^{۱۴} Gunn

الکتریکی مستقیم اعمال شود، به طوری که اندازه آن بزرگتر از اندازه آستانه بحرانی^{۱۵} یعنی در حدود چند هزار ولت بر سانتی‌متر باشد، میکروموج همدوسی توسط نیمه‌رسانا تولید می‌شود که فرکانس نوسان آن تقریباً برابر با عکس زمان گذار حامل در طول نمونه است. پس از آن، لاتر^{۱۶} و کروم^{۱۷} [۱۳] بیان داشتند که ویژگی‌های میکروموج تولید شده به نظریه مقاومت دیفرانسیلی منفی (NDR) در نیمه‌رساناهای مرتبط است که به طور مستقل توسط ریدلی^{۱۸} و واتکینز^{۱۹} [۱۴ و ۱۵] و هیلسام^{۲۰} بررسی شد [۱۶ و ۱۷]. انتقال الکترون‌های نوار رسانش از کمینه با انرژی کم و تحرک‌پذیری بالا به کمینه‌های با انرژی بالا و تحرک‌پذیری کم، منشأ پیدایش مقاومت دیفرانسیلی منفی است. آزمایش‌های هاتسون^{۲۱} با اعمال فشار بر گالیوم آرسناید [۱۸] و آزمایش‌های آلن^{۲۲} بر روی آلیاژ $GaAs_1-xP_x$ [۱۹] نشان داد که میدان الکتریکی آستانه با کاهش فاصله انرژی بین لبه کمینه‌های نوار مرزی، کاهش می‌یابد یعنی اثر انتقال الکترون سبب ایجاد نوسان گان می‌گردد.

۲-۲ - ساختار بلوری

جامدهای ایده‌آل، از یک آرایه نامتناهی سه‌بعدی از نقاط گستته با یک نظام ساختاری و جهت‌گیری یکسان برای هر نقطه تشکیل شده‌اند. بلورهای واقعی متناهی هستند، اما با شرط دوره‌ای بودن ساختار بلور، می‌توان شرط نامتناهی بودن آرایه را حفظ نمود. تمام نقاط فضا با بردارهای مکان $\vec{R} = n_1 \vec{a}_1 + n_2 \vec{a}_2 + n_3 \vec{a}_3$ مشخص می‌شوند. n_1, n_2 و n_3 اعداد درست هستند. اگر سه بردار \vec{a}_1, \vec{a}_2 و \vec{a}_3 ، تمام نقاط شبکه را تعریف نموده و تحت انتقال ناوردا بمانند، بردارهای بسیط بنیادی نامیده می‌شوند. شبکه براوه را می‌توان با بردار \vec{R} تعریف نمود که انتهای آن، نقاط شبکه را نشان می‌دهد. مهم‌ترین شبکه‌های براوه سه‌بعدی، شبکه‌های مکعبی ساده، مکعبی مرکز‌حجمی و مکعبی مرکز‌سطحی هستند [۲۰]. دسته بزرگی از نیمه‌رساناهای مهم، ساختار الماسی یا Zincblende دارند که جزء شبکه براوه به شمار نمی‌روند.

نیمه‌رساناهای III-V مانند $GaAs$ در ساختار Zincblende متبلور می‌شوند [۲۰] که در شکل (۱-۲) نشان داده شده است. این ساختار شامل دو شبکه براوه مکعبی مرکز‌وجهی است که در هم ادغام شده‌اند، به طوری که هر شبکه نسبت به دیگری در امتداد قطر فضایی و با فاصله برابر یک‌چهارم طول قطر، قرار می‌گیرد. ساختار اتمی Ga به صورت $[Ar]^{2d^1 4s^1 4p^1}$ و As به صورت $[Ar]^{2d^1 4s^2 4p^2}$ است. در نیمه‌رسانای $GaAs$ بین اتم‌های Ga و As پیوند کووالانسی برقرار است و هر دو، الکترون‌های تراز $4s$ و $4p$ را به اشتراک می‌گذارند.

بسیاری از خواص شبکه‌های بلوری مانند چگونگی برهم‌کنش بلور با امواج الکترومغناطیسی و ایجاد پراش، به دلیل خواص موجی الکترون ایجاد می‌شود. از آنجایی که فواصل بین نقاط شبکه براوه (اتم‌های واقع در ساختارهای بلوری) بسیار کوچک است، خواص موجی الکترون مهم می‌گردد. برای توجیه ساده این خواص، از فضای مجازی (فضای فوریه، فضای وارون یا فضای موج) استفاده می‌شود. برای این منظور، موج تخت $e^{i\vec{k} \cdot \vec{R}}$ تعریف می‌شود. \vec{k} بردار موج است و به مجموعه‌ای

¹⁵ Critical threshold

¹⁶ Later

¹⁷ Kroemer

¹⁸ Rideley

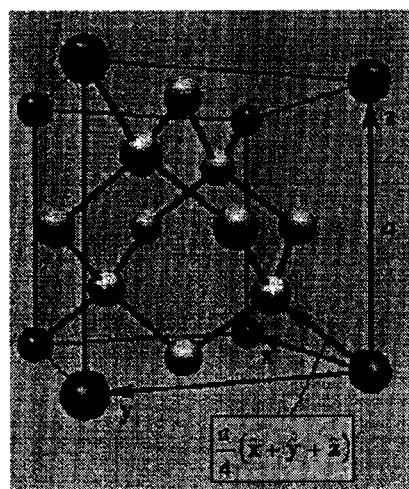
¹⁹ Watkins

²⁰ Hilszum

²¹ Hutson

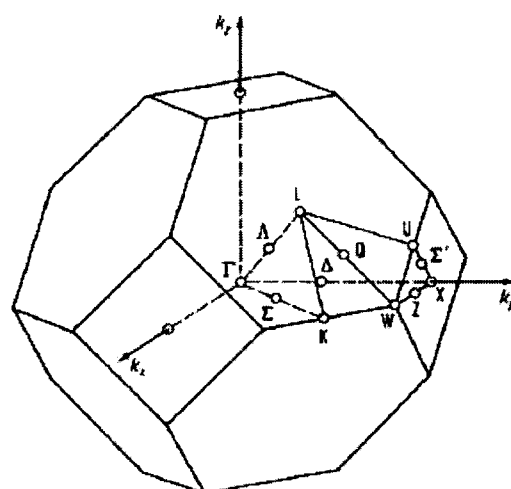
²² Allen

وارون یا فضای موج) استفاده می‌شود. برای این منظور، موج تخت $e^{i\vec{k}\cdot\vec{R}}$ تعریف می‌شود. \vec{k} بردار موج است و به مجموعه‌ای از \vec{k} ‌ها که امواج تخت را بسازند و تناوب آنها، همان تناوب شبکه براوه باشد، شبکه وارون گویند. این شبکه گستته است و هر نقطه آن، بازتابی از کل شبکه مستقیم است. سلول ویگنر-سایت^{۲۳} در شبکه وارون بسیار مهم است که به آن منطقه اول بریلوئن گویند و به وسیله آن می‌توان تمام خواص تناوبی شبکه را بررسی نمود [۲۰].



شکل ۱-۲- ساختار شبکه نیمه‌رسانای نوع Zincblende

منطقه بریلوئن برای ساختار zincblende مشابه منطقه بریلوئن شبکه مکعبی مرکزوجهی است که در شکل (۲-۲) نشان داده شده است. نمادهای Γ , X , L , ... راستاهای را در منطقه بریلوئن نشان می‌دهد. نقطه Γ مربوط به $k=0$ یعنی مرکز منطقه بریلوئن است.



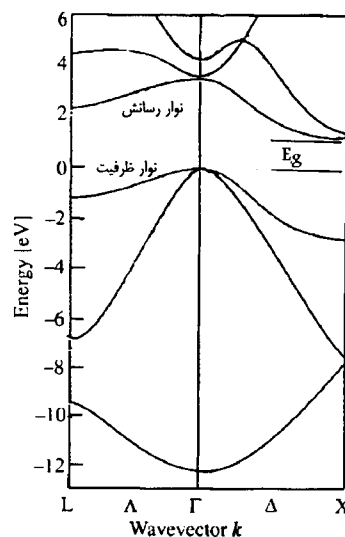
شکل ۲-۲- منطقه اول بریلوئن در شبکه مکعبی مرکزوجهی. نقاط قرینه و راستاهای مهم در شکل مشخص گردیده است.

²³ Wigner-Seits

۳-۲- نوارهای انرژی

ساختار نواری یک جامد بلوری، رابطه انرژی- تکانه ($E-k$)، با حل معادله شروдинگر در تقریب مسئله تکالکترونی به دست می آید و اثرات ترکیبی آنها در آلیاژسازی بسیار مهم است. نظریه بلاخ، یکی از نظریههای مهم و اساسی در ساختار نواری است. نوارهای انرژی جامدات، با استفاده از روش‌های عددی مختلفی مطالعه می‌گردد که سه روش رایج عبارتند از روش‌های بستگی قوی (TB)^{۲۴} یا ترکیب خطی از اوربیتال‌های اتمی، شبه‌پتانسیل^{۲۵} و K.P [۲۱ تا ۲۳].

در روش بستگی قوی فرض می‌شود که الکترون‌ها بهشت به هسته خود مقید هستند، یعنی پتانسیل دورهای بسیار قوی و در حد پتانسیل اتمی بوده که به مقدار جزئی مختل شده است. از آنجایی که فاصله بین اتم‌ها قابل مقایسه با ثابت شبکه است، بنابراین توابع موج آنها با هم همپوشانی دارد و به صورت ترکیب خطی از توابع موج اتمی می‌گردد. از این روش برای محاسبه ساختار نواری عایق‌ها و عناصر واسطه که اوربیتال δ و d آنها همزممان در حال پر شدن است، استفاده می‌شود. در روش شبه‌پتانسیل، فرض می‌شود که الکترون‌ها تقریباً آزاد بوده و توابع موج آنها به صورت امواج تخت است. این روش برای مطالعات ساختاری جامدات؛ ساختارهای الکترونیکی سطحی و بین سطحی؛ تنش‌ها و نیروها؛ پاسخ‌های خطی و نظریه‌های دیالکتریک؛ نقص‌های نقطه‌ای و خودانرژی‌های دینامیکی به کار می‌رود [۲۴]. شکل (۳-۲)، ساختار نواری نیمه-رسانای سیلیسیوم را نشان می‌دهد که به روش شبه‌پتانسیل محاسبه گردیده است. همان‌طور که ملاحظه می‌شود، گاف انرژی در این نیمه‌رسانا غیرمستقیم است.



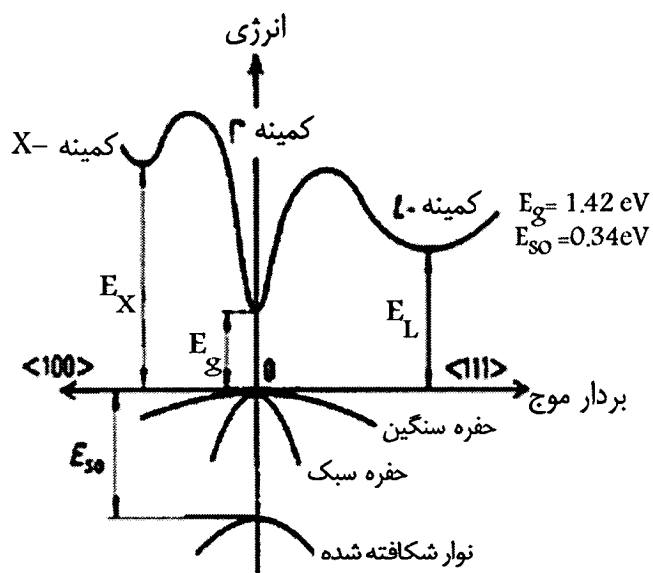
شکل ۳-۲- نمایی از ساختار نواری سیلیسیوم محاسبه شده به روش شبه‌پتانسیل [۲۱]

در روش k.p، ساختار نواری در کل منطقه بریلوئن با توجه به گاف انرژی در مرکز منطقه و عناصر ماتریس اپتیکی، برون‌یابی می‌گردد. بنابراین این روش برای بیان طیف اپتیکی مناسب است و با حل معادله شروдинگر تکذرهای و استفاده از نظریه بلاخ، توزیع نواری و جرم موثر در اطراف نقاط با تقارن بالا به طور تحلیلی به دست می‌آید [۲۱].

²⁴ Tight-Binding

²⁵ Pseudo-potential

ساختار نواری $GaAs$ که در شکل (۴-۲) نشان داده شده، ساختار نواری با گاف انرژی مستقیم است. همان‌طور که ملاحظه می‌گردد، یک نوار رسانش وجود دارد که اوربیتال s (یگانه) نامیده می‌شود و یک نوار ظرفیت با مشخصه p نیز وجود دارد که ترکیبی از سه اوربیتال است. حالت $3p$ در بالای نوار ظرفیت (نقطه Γ در $k=0$) باید تبهگن باشد، اما برهمکنش اسپین-مدار تبهگنی را از بین می‌برد [۲۶]. در نتیجه نوار ظرفیت، ترکیبی از نوارهای حفره-سنگین و حفره-سبک تبهگن در نقطه Γ می‌گردد و نوار شکافته شده^{۲۶} نیز به اندازه E_{SO} (یا $E_{SO} - E_g$) پایین‌تر از نقطه Γ در $k=0$ قرار می‌گیرد.



شکل ۴-۲- ساختار نواری گالیوم آرسناید

۴-۲- تراپرد الکترونیکی

الکترون‌ها و حفره‌ها در اطراف نقص‌های شبکه، حامل‌های مقید نامیده می‌شوند، زیرا متوجه نیستند. اما، الکترون‌ها در نوار رسانش و حفره‌ها در نوار ظرفیت نیمه‌رسانا حامل‌های آزاد هستند و جریان الکترونیکی را منتقل می‌کنند. زمانی که یک میدان الکترونیکی خارجی به نیمه‌رسانا اعمال شود، حامل‌های آزاد تحت تأثیر قرار می‌گیرند و بسته به شدت میدان اعمالی به آن پاسخ می‌دهند. اگر میدان الکترونیکی ضعیف باشد، رفتار حامل‌ها با توجه به قانون اهم قابل توصیف است. اما در میدان‌های قوی، انرژی جنبشی حامل‌ها بیش از انرژی شبکه می‌شود. این الکترون‌های پرانرژی، الکترون‌های گرم^{۲۷} نامیده می‌شوند که محاسبه ویژگی‌های آنها به صورت تحلیلی مشکل است.

۴-۲-۱- تراپرد حامل‌ها در میدان الکترونیکی کوچک

در میدان الکترونیکی کوچک، سرعت سوق (v_d)، متناسب با شدت میدان الکترونیکی (E) است و ثابت تناسب به عنوان تحرک پذیری μ به صورت زیر تعریف می‌شود:

²⁶ Split-off

²⁷ Hot electron

$$v_d = \mu E. \quad (1-2)$$

که مستقل از میدان الکتریکی است. در نیمه‌رساناهای غیرقطبی مانند Ge و Si، حضور فونون‌های اکوستیک و ناخالصی‌های یونیزه شده منجر به پراکندگی حامل‌ها می‌گردد که بر تحرک‌پذیری حامل‌ها تاثیر می‌گذارد. تحرک‌پذیری ناشی از برهمنکش با فونون اکوستیکی، به عبارت است از [۲۶]:

$$\mu_i \sim (m^*)^{-5/2} T^{-3/2}, \quad (2-2)$$

که در آن m^* جرم مؤثر الکترون رسانش است. مطابق رابطه (۲-۲)، با افزایش دما و جرم مؤثر، تحرک‌پذیری کاهش می‌یابد.

تحرک‌پذیری ناشی از ناخالصی‌های یونیزه شده، μ_i به صورت زیر است [۲۷]:

$$\mu_i \sim (m^*)^{-1/2} N_i^{-1} T^{3/2}, \quad (3-2)$$

که در آن، N_i چگالی ناخالصی یونیزه شده است. انتظار می‌رود که تحرک‌پذیری با افزایش جرم مؤثر، کاهش و با افزایش دما، افزایش یابد. تحرک‌پذیری مرکب که شامل دو سازوکار فوق است، به صورت زیر است:

$$\mu = \left(\frac{1}{\mu_i} + \frac{1}{\mu_s} \right)^{-1}. \quad (4-2)$$

در نیمه‌رساناهای قطبی مانند GaAs، پراکندگی ناشی از فونون اپتیکی نیز مهم است. تحرک‌پذیری مرکب در این نوع نیمه‌رساناهای مطابق رابطه

$$\mu \sim (m^*)^{-3/2} T^{1/2}, \quad (5-2)$$

تعریف می‌شود [۲۸]. علاوه‌بر عامل پراکندگی فوق، سایر عوامل مانند پراکندگی درون‌نواری و بین‌نواری نیز بر تحرک‌پذیری واقعی تأثیر می‌گذارند. در پراکندگی درون‌نواری، یک الکترون درون یک نوار انرژی بیضی‌وار پراکنده می‌شود و فقط شامل فونون‌های با طول موج بلند است. در پراکندگی بین‌نواری، یک الکترون از یک کمینه انرژی به کمینه انرژی دیگر پراکنده می‌شود و شامل فونون‌های پرانرژی است.

۲-۴-۲- تراپرده حامل‌ها در میدان الکتریکی بزرگ

زمانی که میدان الکتریکی اعمالی به اندازه کافی بزرگ، یعنی بیش از V/cm^{4} باشد [۲۲]، قانون اهم نقط و تحرک‌پذیری غیرخطی شده و در برخی موارد اشباع سرعت سوق^{۲۸} مشاهده می‌شود. در حالت اشباع، سرعت حامل‌ها به بیشترین میزان خود در نیمه‌رسانا می‌رسد. به محض اینکه میدان الکتریکی از این میزان بیشتر شود، سرعت حامل‌ها به دلیل از

²⁸ Drift velocity saturation

دست دادن انرژی از طریق گسیل فونون‌ها و حتی فوتون‌ها کاهش می‌یابد. در میدان‌های بسیار بزرگ نیز یونیزاسیون برخورد^{۲۹} رخ می‌دهد. در این حالت، الکترون‌های دارای انرژی جنبشی کافی به الکترون‌های پیوندی ضربه زده و زوج‌های الکترون-حفره تولید می‌کنند.

در تعادل دمایی، حامل‌ها فونون‌ها را هم جذب و هم گسیل می‌کنند. به طوری که میزان تبادل خالص انرژی، صفر می‌شود.

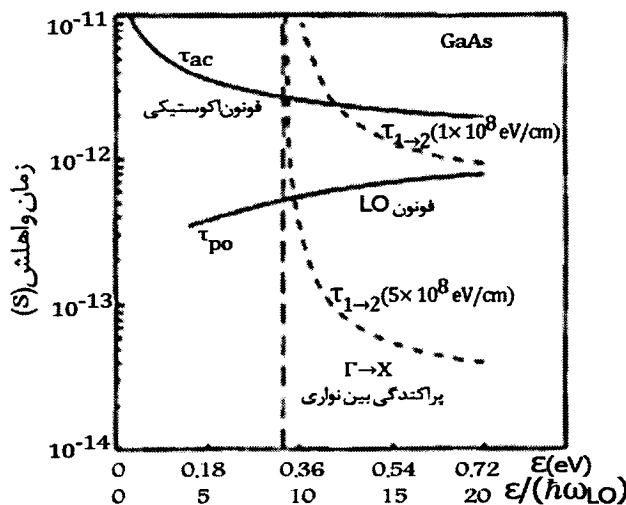
توزیع انرژی نیز در تعادل دمایی، با توزیع ماکسول توصیف می‌گردد. اما در حضور میدان الکتریکی، حامل‌ها انرژی کسب نموده و سپس آن را بیشتر از طریق گسیل فونون‌ها از دست می‌دهند. در میدان‌های بزرگ، گسیل فونون‌های اپتیکی، پراکندگی غالب است. با افزایش میدان، میانگین انرژی حامل‌ها نیز افزایش می‌یابد و به دمای مؤثری (T_e) بزرگتر از دمای شبکه (T) می‌رسد^[۱۳].

حال ممکن است این سؤال ایجاد شود که چه شرایطی نوع تعادلی توزیع حامل‌ها را تعیین می‌کند؟ پاسخ به این سؤال، به زمان برهم‌کنش بین حامل‌ها و برهم‌کنش حامل‌ها- شبکه در مقایسه با طول عمر حامل، بستگی دارد. بدین منظور، پارامتر زمان حرارتی شدن^{۳۰} تعریف می‌شود که در واقع زمانی است که طول می‌کشد تا توزیع غیرتعادلی حامل به حالت تعادلی برسد. طول عمر حامل نیز، مقدار زمانی است که حامل حرارتی می‌شود. فرایندهایی که در حرارتی شدن مؤثر هستند عبارتند از: برهم‌کنش‌های حامل- حامل و برهم‌کنش‌های فونون- حامل. همان‌طور که در شکل (۵-۲) نشان داده شده است، زمان‌های برهم‌کنش حامل- فونون از ۰/۱ پیکوثانیه (برای فونون‌های اپتیکی قطبی و برای فونون‌ها در پراکندگی بین نواری) تا ده‌ها پیکوثانیه (برای فونون‌های اکوستیکی) متغیر است.

زمان‌های برهم‌کنش حامل- حامل بهشت به چگالی حامل وابسته است. در چگالی‌های بیشتر از 10^{18} cm^{-3} ، حرارتی شدن حامل در محدوده فمتوثانیه است. بنابراین، برهم‌کنش حامل- حامل در چگالی‌های بالا و برهم‌کنش حامل- فونون در چگالی‌های کم، زمان حرارتی شدن را تعیین می‌کند. اغلب حامل‌ها، طول عمر محدود دارند زیرا بهوسیله نقص‌های شبکه به دام می‌افتدند. اگر هر دوی الکترون‌ها و حفره‌ها حضور داشته باشند، طول عمر حامل‌ها بهوسیله پدیده بازترکیب محدود می‌گردد. در نمونه‌های با چگالی نقص‌های بزرگ (مانند نیمه‌رساناهای آمورف)، طول عمر حامل‌ها از مرتبه پیکوثانیه یا کمتر است. اگر طول عمر حامل کمتر از زمان حرارتی شدن باشد، توزیع حامل از نوع غیرتعادلی خواهد بود. علاوه بر این، اگر توزیع حامل بهوسیله یک آشفتگی در زمانی کمتر از زمان حرارتی شدن مختل گردد، یک توزیع غیرتعادلی گذرا رخ می‌دهد.

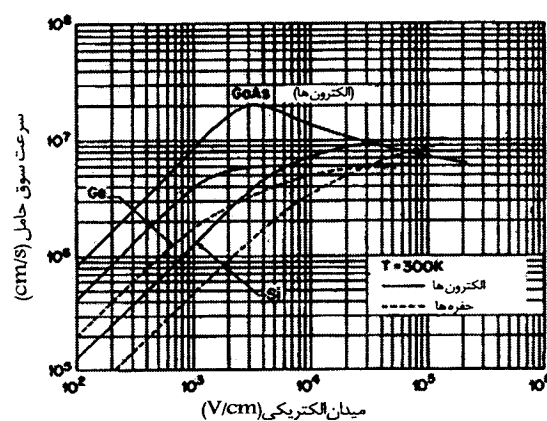
²⁹ Impact ionization

³⁰ Thermalization time



شکل ۵-۲- زمان‌های واهلش تکانه^{۳۱} یک الکترون رسانش در کمینه Γ از GaAs به عنوان تابعی از انرژی الکترون. τ_{ac} مربوط به زمان پراکندگی ناشی از فونون‌های اکوستیکی طولی، τ_{po} مربوط به فونون‌های اپتیکی و $\tau_{1\rightarrow 2}$ مربوط به پراکندگی از کمینه Γ به [۲۱] X.

حاملهای گرم ویژگی‌های متفاوتی نسبت به حاملهای تعادلی دارند. وابستگی سرعت سوق به میدان الکتریکی، نمونه-ای از این اختلاف است. شکل (۶-۲)، سرعت سوق در Si و GaAs را به صورت تابعی از میدان الکتریکی نشان می‌دهد. در میدان‌های کمتر از 10^3 V/cm^۳، حاملهای از قانون اهم تبعیت می‌کنند، یعنی سرعت سوق به طور خطی با میدان الکتریکی افزایش می‌یابد. در میدان‌های بیشتر، سرعت حامل به طور غیرخطی با افزایش میدان افزایش می‌یابد و در سرعت حدود 10^7 cm/s^۷ به حد اشباع یعنی، به اوج سرعت سوق حامل در میدان‌های بزرگ می‌رسد. GaAs نوع n، رفتار پیچیده‌تری را نشان می‌دهد. زیرا حداکثر سرعت آن، بیش از سرعت اشباع است. این پدیده، سرعت فرارفت^{۳۲} نام دارد و در تعداد کمی از نیمه‌رساناهای نوع n مانند InGaAs، InP، GaAs مشاهده می‌گردد.



شکل ۶-۲- وابستگی سرعت سوق به میدان الکتریکی برای الکترون‌ها و حفره‌ها در Si و GaAs . [۱۲]

^{۳۱} Momentum relaxation times

^{۳۲} Overshoot

سرعت الکترون‌ها در $GaAs$ با افزایش میدان الکتریکی بین 3×10^5 و 2×10^5 V/cm^3 کاهش می‌یابد. این پدیده مقاومت دیفرانسیلی منفی نامیده می‌شود. برای محاسبه سرعت سوق از روش نیمه‌کلاسیکی استفاده می‌شود که در بخش بعدی شرح داده خواهد شد. همچنین، مقاومت دیفرانسیلی منفی و سازوکار انتقال الکtron با جزئیات بیشتر نیز در ادامه بیان خواهند شد.

۳-۴-۲ - رویکرد نیمه‌کلاسیکی

برای بررسی پدیده تراپر نیمه‌رسانها در حضور میدان الکتریکی بزرگ، لازم است که تابع توزیع مناسب آن تعریف شود. در ابتدا، فرض می‌شود که نیمه‌رسانای مورد نظر فقط دارای الکترون آزاد (یعنی نوع n) است. برای سهولت، فرض می‌شود که تمرکز الکترون‌های آزاد کم است به طوری که می‌توان از برهمنش آنها با یکدیگر مانند برخورد و اثرات استثمار، صرفنظر نمود. همچنین، از اثرات میدان‌های موضعی به‌واسطه حضور بارهای یونی صرفنظر می‌شود. به عبارتی دیگر، فرض می‌شود که الکترون‌ها همان میدان خارجی اعمالی را تجربه می‌کنند. از آنجا که همه حامل‌ها زمان پراکندگی مشابه ندارند، فرض می‌شود که حامل‌ها در یک نوار به صورت بولتزمنی توزیع شده‌اند و زمان پراکندگی به انرژی حامل بستگی دارد [۲۱]. به دلیل اینکه سیستم تحت میدان خارجی قرار دارد، پس در حال تعادل دمایی نیست و تابع توزیع باید به صورت غیرتعادلی تعریف شود که در صورت حذف میدان اعمالی، به تابع توزیع فرمی-دیراک تبدیل می‌شود.

برای توصیف پراکندگی در سیستم از تقریب زمان واهلش (RTA)^{۳۳} استفاده می‌شود. در این تقریب فرض می‌شود که تابع توزیع الکترون‌ها پس از برخورد مستقل از تابع توزیع غیرتعادلی قبل از برخورد است، به‌سمت تعادل موضعی پیش می‌رود و شکل آن پس از برخورد نیز تغییر نمی‌کند. برای تعیین آهنگ برخورد باید سازوکار برخورد نیز مشخص باشد. آنچه در سیستم سبب پراکندگی می‌گردد، نوسانات گرمایی، یون‌های ناخالصی و یا نقص‌های شبکه است. البته اگر در بخشی از بلور، ثابت شبکه به دلیل اعمال میدان خارجی تغییر کند، عامل دیگری نیز برای پراکندگی محسوب می‌گردد. با در نظر گرفتن تمام مطالب فوق، آهنگ تغییر تابع توزیع در این تقریب به صورت زیر تعریف می‌شود:

$$\left. \frac{\partial f_k}{\partial t} \right|_c = - \frac{f_k - f_k^0}{\tau}, \quad (6-2)$$

که τ ، فاصله زمانی میانگین بین دو برخورد بوده و به انرژی، مکان و بردار موج وابسته است. f_k^0 نیز تابع توزیع تعادلی است. برای بررسی آهنگ تغییر، باید از معادله بولتزمن استفاده شود که عبارت است از:

$$\frac{\partial f_k}{\partial t} + \vec{v}(k) \cdot \frac{\partial f_k}{\partial \vec{r}} + \vec{k} \cdot \frac{\partial f_k}{\partial \vec{k}} = \left. \frac{\partial f_k}{\partial t} \right|_c, \quad (7-2)$$

در رابطه فوق، \vec{k} متعلق به منطقه بریلوئن و (k) سرعت الکترون‌ها در بلور است. در حالت تعادل دمایی، f_k به f_k^0 یعنی تابع توزیع ماکسول-بولتزمن که در دمای شبکه به چگالی الکترون‌ها بهنجار شده:

³³ Relaxation Time Approximation